

## 補剛板の圧縮耐荷力について(その2)

大阪大学工学部  
大阪府立工業高等専門学校

正員 前田幸雄  
正員 ○日笠隆司

1. まえがき 本文はフラットな4本の偏心縦リブと2本の中間横リブで補剛された一枚板の圧縮耐荷力の実験結果について、その概要を報告する。

2. 実験結果の概要 供試体の材質はSM41Aであり、その寸法・製作、実験装置・方法は参考文献1)に述べているので実験結果の大略を記す。Table-1に供試体の無次元幅厚比 $R/t$ と縦及び横リブの剛比 $\beta_s, \beta_r$ を示す。 $R/t$ の算出において、板要素の座屈係数 $\kappa$ は4、補剛板のたわみは道示・解説3・4・9式により、降伏点応力度 $\sigma_y$ はTable-2の値を用いる。 $\beta_s, \beta_r$ は道示の偏心リブの規定により、 $\beta_{es}$ は板要素と縦リブをT字断面の梁として算出する。道示の縦及び横リブ必要剛比 $\beta_{os}, \beta_{or}$ の計算にはTable-2の $\beta_y$ を用いる。Fig.1に平均圧縮応力度 $\bar{\sigma}_x$ と軸方向短縮量の関係を示す。供試体No. SP42-9は $\bar{\sigma}_x = 2080 \text{ kg/cm}^2$ まで載荷した後除荷し、O点調整の後再載荷したため、他の供試体と比較すると残留ひずみだけ曲線部にずれを生じている。Fig.1より次のことがいえる。1)極限強度 $\bar{\sigma}_{ult}$ 達した後の不安定域における $\bar{\sigma}_x$ は $\bar{\sigma}_{ult}/\sigma_y$ が小さいほど激しく低下する。2)不安定領域内にある変曲点 $\kappa$ 達した後、 $\bar{\sigma}_x$ の減少は徐々にゆるやかとなる。

Fig.2は $\bar{\sigma}_x$ と補剛板中央のたわみ $W$ 、Fig.5は初期たわみ $W_0$ の一例、Fig.6は破壊後の残留たわみ $W_R$ のモードの一例であり、(イタリック)の符号はリブのない面の方向へのたわみを表わし、全て板要素の板厚 $t$ より無次元化

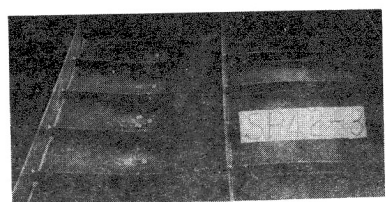
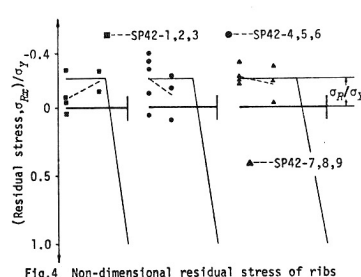


Photo-1 Failure modes of specimen No. SP42-3

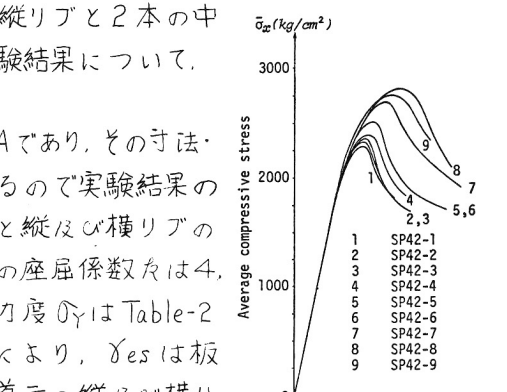


Fig.1 Average compressive stress versus axial displacement

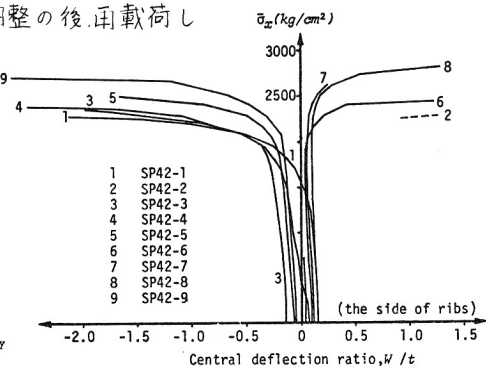


Fig.2 Average compressive stress,  $\bar{\sigma}_x$ , versus central deflection ratio,  $W/t$

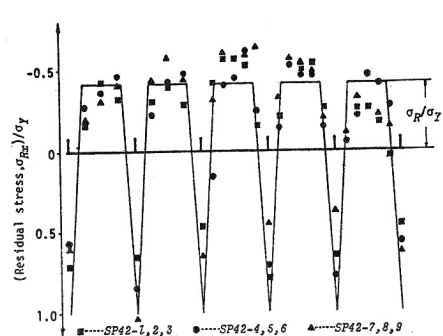


Fig.3 Non-dimensional residual stress of plate elements

して示す。Photo-1 は破壊後の残留たわみモードの一例を写真で示す。Fig.2, Fig.5, Fig.6, Photo-1 より次のことが分る。1) 調査の前半において、全供試体の補剛板中央のたわみはリブの付いてない面の方向に進行するが、初期たわみのモードにより、たわみが途中で逆転することがある。2) 本実験において、たわみの逆転による耐荷力への影響は認められない。3) 節線となる中间横リブにおいて、横リブの捩れ変形が認められるが、節線では単純支持とみなしえ得る。Fig.3, Fig.4 は一軸縮ひずみゲージによる残留応力度を JYK により無次元化して示したものであり（その数値は Table-2 参照），次のこと�이える。1) リブの残留応力度の分布状態はリブの初期たわみの影響を受け複雑である（Fig.4 の点線は平均値的な傾向を示したもの）であり、簡単に表すことはできない。さらにそれを平均して Table-2 に示す。2) 板要素 K に比較してリブ残留圧縮応力度の小さい原因是リブ交差部の捻挫が縦リブ軸方向長さ 400mm の拘束沿接にならためと思われる。初期たわみ比  $W_0/t$  の最大値及び無次元極限強度  $\bar{\sigma}_{ult}/\sigma_y$  は Table-2 に示す。この表より次のことがいえる。  
 1)  $\bar{\sigma}_{ult}/\sigma_y$  に手に入る横リブ剛比の影響は小さい。2) 道示の横リブ必要剛性を満足すれば十分強度は保障されるが、節線とならないものも認められた。3) 本実験より供試体の初期たわみは比較的大きいが、道示縦リブ必要剛比では  $\bar{\sigma}_{ult}/\sigma_y \approx 0.8$  となるのが、 $\gamma_{os} \approx 2\gamma^*$  程度にすべきである。

参考文献 1) 前田・日笠, 補剛板の圧縮耐荷力にノリ（その1）, 土木学会第32回年次講演概要集, 552.

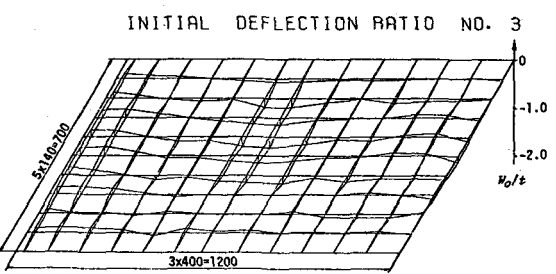


Fig.5 Initial deflection ratio,  $W_0/t$ , of specimen No.SP42-3

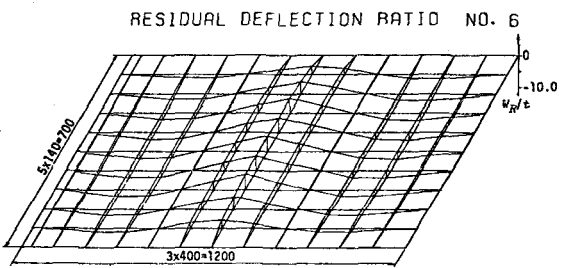


Fig.6 Residual deflection ratio,  $W_0/t$ , of specimen No.SP42-6 after test to fracture

Table-1 Non-dimensional width-thickness ratio and rigidity ratio

Specimen No.	R		Rigidity ratio of ribs					
			Longitudinal ribs			Transverse ribs		
	Plate elements	Stiffened plates	$\gamma_s$	$\gamma_{es}$	$\gamma_s/\gamma^*$	$\gamma_s/\gamma_{os}$	$\gamma_r$	$\gamma_r/\gamma_{or}$
SP42-1	0.61	0.69	5.7	6.4	0.76	1.1	21	0.52
SP42-2	0.62	0.70	5.7	6.5	0.77	1.0	41	1.0
SP42-3	0.61	0.69	5.7	6.4	0.77	1.1	79	2.0
SP42-4	0.61	0.60	7.8	8.4	1.0	1.4	27	0.50
SP42-5	0.61	0.60	7.8	8.4	1.0	1.4	53	1.0
SP42-6	0.61	0.61	7.7	8.3	1.0	1.4	105	2.0
SP42-7	0.61	0.44	15.5	15.3	1.9	2.7	27	0.26
SP42-8	0.61	0.44	15.5	15.4	1.9	2.7	53	0.5
SP42-9	0.61	0.44	15.5	15.4	1.9	2.7	106	1.0

R: non-dimensional width-thickness ratio,  $\gamma^*: DIN$   
 $\gamma_{os}, \gamma_{or}: Japanese specification for steel highway bridges$

Table-2 Test results

Specimen No.	$\sigma_y$ (kg/cm <sup>2</sup> )	$\sigma_{ult}/\sigma_y$		$W_0/t$		$P_{ult}$ (ton)	$\bar{\sigma}_{ult}$ (kg/cm <sup>2</sup> )	$\bar{\sigma}_{ult}/\sigma_y$
		Ribs	Plate elements	BTR	BSE			
SP42-1	2890	0.21	0.38	-0.13	0.28	93.0	2290	0.79
SP42-2	2990	0.21	0.38	-0.24	-0.23	94.7	2330	0.78
SP42-3	2920	0.21	0.38	-0.17	-0.23	96.0	2370	0.81
SP42-4	2930	0.21	0.39	-0.21	-0.18	99.2	2400	0.82
SP42-5	2910	0.21	0.39	-0.17	-0.14	104.0	2510	0.86
SP42-6	2900	0.21	0.39	-0.26	-0.24	104.2	2510	0.87
SP42-7	2920	0.21	0.42	-0.16	0.15	118.0	2700	0.93
SP42-8	2880	0.21	0.42	-0.14	0.33	123.0	2820	0.98
SP42-9	2890	0.21	0.42	-0.10	0.18	120.6	2760	0.96

$\sigma_y$ : yield stress,  $\sigma_{ult}/\sigma_y$ : ratio of average residual compressive stress (see Fig.3 and 4),  $t$ : thickness of plate elements,  $W_0$ : initial deflection, BTR: max. value of non-dimensionalized initial deflection ratio  $W_0/t$  between transverse ribs (signs of minus show the direction of no rib side on stiffened plates.), BSE: between supported edges of stiffened plates,  $P_{ult}$ : ultimate load (load carrying capacity),  $\bar{\sigma}_{ult}$ : ultimate strength